

短篇论著

脊髓髓内神经鞘瘤的诊断及微侵袭手术治疗

The diagnosis and minimally invasive surgery of intramedullary Schwannoma of spinal cord

罗波, 唐晓平, 李峥, 马文超, 彭华, 赵龙

(川北医学院附属医院神经外科 637000 四川省南充市)

doi: 10.3969/j.issn.1004-406X.2015.05.18

中图分类号:R739.42 文献标识码:B 文章编号:1004-406X(2015)-05-0474-03

脊髓髓内神经鞘瘤少见,仅占椎管内肿瘤的0.3%,占椎管内神经鞘瘤的1.1%^[1,2]。术前通过临床表现和影像学特点不易与髓内常见肿瘤如胶质细胞瘤、室管膜瘤等区分;治疗以显微镜下微侵袭手术切除为主,预后较好。我院神经外科自2006年1月至2014年8月共收治6例经病理检查证实的脊髓髓内神经鞘瘤患者,结合文献对其临床、影像特点以及微侵袭手术治疗方法进行总结,以提高对本病的诊断和手术治疗水平。

临床资料 6例患者的一般资料见表1。4例肿瘤位于颈髓的患者以上肢感觉障碍为首发症状,伴颈部疼痛不适,其中3例患者单侧或双侧上肢逐渐出现不同程度的肌力减退,1例出现感觉分离、肱二头肌反射及桡骨膜反射增强,1例出现左上肢放射痛、颈部活动后加重。1例位于胸髓患者以胸背部皮肤感觉异常为主要症状,左侧腹壁反射(+),左膝腱反射、跟腱反射增强,病理征阳性。1例位于腰髓患者出现脊髓半切综合征(Brown-Sequard综合征),左下肢肌力约3级,肌肉萎缩,右下肢触觉减退,偶伴有大便失禁。6例患者术前均行MRI平扫+增强扫描,病灶均位于脊髓内,偏向一侧生长,呈圆形或长椭圆形实性肿块,大小6×12mm~14×32mm,所有病灶T1WI像呈稍低信号,T2WI像呈稍高信号,增强扫描均有不同程度强化,其中1例颈髓病灶继发出血,边界欠清,呈混杂信号影,不均匀轻度强化(图1)。

术前均行X线摄片体表定位,所有患者均在气管内插管、静脉复合麻醉下行显微手术。采取后正中入路,其中3例行半椎板切除,2例采用扩大半椎板切除,1例行全椎板切除,显露脊髓正中沟。用微型磨钻缓慢磨除椎板,形成骨窗,充分显露硬脊膜,硬脊膜膨隆处多为肿瘤位置。纵行剪开硬脊膜,悬吊于两侧椎旁肌肉,显露脊髓,在显微镜下

锐性切开蛛网膜,6例病灶均完全位于脊髓内。2例直接从后正中沟切开脊髓,4例术中使用超声探测到达病变的最短路径,其中有1例会损伤到脊髓功能区且肿瘤向对侧生长,最终采用后正中沟切开脊髓。显微镜下仔细辨别肿瘤边界,背离正常脊髓锐性分离病灶,分块切除肿瘤,在不过分牵拉脊髓的情况下切除肿瘤包膜及残余肿瘤组织;肿瘤切除后脊髓搏动良好,用人工补片修补硬脊膜。术后给予抗炎、止血、激素、神经保护等治疗。

结果 6例患者肿瘤均全切除,病理检查均行免疫组化证实为神经鞘瘤(图2);所有患者术后门诊或电话随访,时间为3~36个月,4例患者恢复正常工作,1例患者日常生活勉强独立,1例患者双下肢瘫痪无好转。所有患者术后早期均出现不同程度的肢体深、浅感觉异常,包括浅感觉减退、感觉分离等,1个月后感觉障碍逐渐好转,随访至2014年12月均未完全恢复;3例术前上肢肌力减退者在术后早期出现上肢瘫痪加重,2周后逐渐改善,截止到2014年12月肌力恢复至4~5级,无肌肉萎缩;1例患者上肢疼痛明显缓解,肌力无明显下降。术前下肢瘫痪者在术后无明显改善,肌力及肌肉萎缩程度亦无加重。4例患者术后3年复查脊髓MRI未见明显异常,无肿瘤复发,另2例患者未复查MRI。

讨论 神经鞘瘤起源于神经鞘膜的雪旺细胞,是椎管内常见肿瘤之一,好发于髓外硬脊膜下或硬脊膜内外,发生于脊髓髓内的神经鞘瘤少见。因脊髓实质内不存在神经鞘膜,亦无雪旺细胞。髓内神经鞘瘤的病因及发病机制尚不完全明确,雪旺细胞源自脊髓内血管神经、脊神经后根、胚胎发育过程中神经嵴细胞移位、软膜细胞转化、间充质细胞分化、异位的迷走神经纤维^[3],另外,也可能与脊髓创伤或慢性中枢神经系统疾病相关^[2]。髓内神经鞘瘤起病缓,病程较长, Lee等^[4]复习文献报告67例髓内神经鞘瘤,平均病程36.6个月,无明显性别差异,多发于颈段(59%),其次为胸段(26%),腰段较少(15%)。本组病例平均病程26.3个月,无性别差异,发生于颈髓者居多。但 Nicáci等^[5]的报道中男性居多,男女比约为3:1。

本病早期可无任何症状,不易发现,其临床表现与病

基金项目: 四川省医学重点建设学科基金资助(川卫办发[2007]407号)

第一作者简介:男(1989-),硕士研究生,研究方向:脊髓肿瘤

电话:(0817)2262110 E-mail:1914645679@qq.com

通讯作者:唐晓平 E-mail:txping1971@163.com

表 1 6 例脊髓髓内神经鞘瘤患者的基本资料

序号	性别	年龄(岁)	病程(月)	肿瘤大小(mm)	肿瘤部位	增强 MRI 表现
1	男	37	3	8×15	C3~C4	均匀明显强化, 边界清楚
2	男	56	96	14×32	C4~C6	不均匀轻度强化, 混杂信号, 边界不清, 脊髓增粗
3	男	62	20	12×25	C3~C4	均匀明显强化伴脊髓空洞, 边界清楚, 脊髓增粗
4	女	39	5	6×12	T4~T5	均匀轻度强化, 边界清楚
5	女	59	10	8×20	C6~C7	均匀明显强化, 边界清楚
6	女	68	24	12×30	L4~L5	均匀轻度强化, 脊髓增粗, 边界欠清

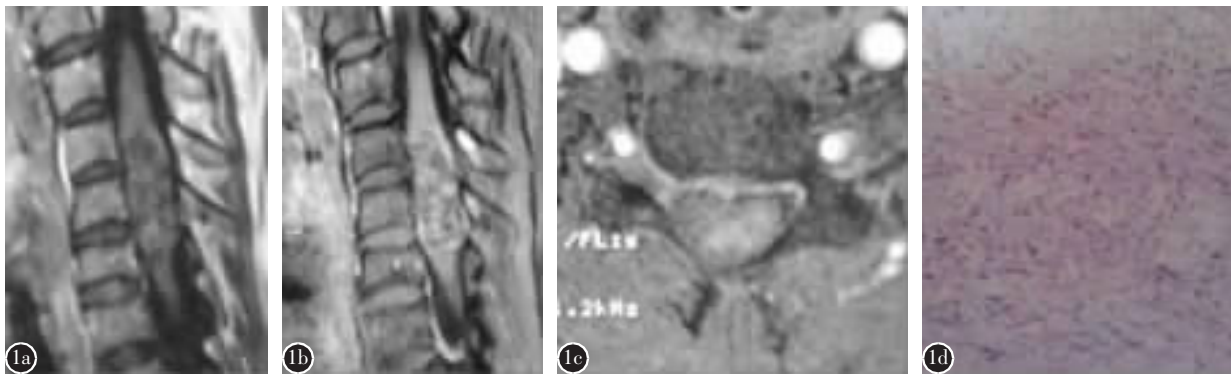


图 1 患者女, 43 岁 **a** 术前 MRI 示肿瘤位于 C4~C6 相应脊髓节段, 呈长椭圆形, 边界欠清晰, T1WI 像呈混杂信号影 **b** 增强扫描见肿瘤轻度强化 **c** 横断面扫描示肿瘤位于椎管内偏左侧 **d** 病理检查免疫组化表型 S-100(+)

灶大小及生长位置密切相关, 具有其他常见髓内肿瘤的特点, 对脊髓的缓慢压迫, 表现为受累脊髓节段平面以下肢体感觉、运动功能障碍, 常先后出现肢体疼痛、麻木、肌力减退、肌肉萎缩、瘫痪、大小便障碍等症状。另外, 脊髓髓内神经鞘瘤可有与髓外神经鞘瘤类似的临床表现, 起源于脊神经后根的髓内神经鞘瘤可累及后根入口, 出现典型神经根痛, 本组有 1 例患者表现为左上肢放射痛, 随头部转动加重。本病多发生于脊髓背外侧, 肿瘤增大可出现脊髓半切综合征, 而其他髓内肿瘤相对少见^[6]。本组病例均位于脊髓背外侧, 其中 1 例合并脊髓半切综合征。MRI 是目前诊断椎管内占位病变的首选方法, 可直接显示病变位置、大小及其与周围结构的关系, 对髓内、髓外占位病变容易区别, 对脊髓的水肿反应、神经根受压移位等情况可较清楚的显示。脊髓髓内神经鞘瘤常位于脊髓的背外侧、可突出脊髓表面, 痘灶一般较小, 不超过 3 个椎体节段, MRI 显示 T1WI 呈等或稍低信号, T2WI 为稍高、等或混杂信号, 边界清楚, 局部脊髓增粗, 蛛网膜下腔变窄, 可伴脊髓空洞、脊髓水肿或囊变^[2,7]。本组 6 例患者术前均行 MRI 检查, T1WI 呈稍低信号, T2WI 呈稍高信号, 增强扫描表现为不同程度强化, 3 例伴有脊髓增粗, 1 例伴有脊髓空洞, 这与文献内容基本相符。Kim 等^[8]认为瘤周轻微水肿是其特征之一; Kodama 等^[9]认为 MRI 显示脊髓髓内边界清楚、增强扫描时明显强化的占位病变时应考虑神经鞘瘤可能性大。本组中有 1 例合并出血坏死, MRI 表现为不均匀轻度强化, 极易误诊为胶质细胞瘤。因此, 对于轻度不均匀强化者

亦不能完全排除髓内神经鞘瘤。另外, 髓内病变与周围相连的神经根增粗对诊断髓内神经鞘瘤具有特征性^[10]。

本病应与以下疾病相鉴别:(1)星形细胞瘤。儿童多见, 以局限性疼痛为主要表现, 好发于颈、胸段脊髓背侧, 常多节段累及。MRI 表现为边界多不清楚, 呈偏心性、浸润性生长, T1WI 上肿瘤呈低信号, T2WI 上呈高信号, 肿瘤内合并出血或囊变时, 信号可不均匀; 增强扫描多呈斑片状不均匀轻度或明显强化。(2)室管膜瘤。是成人最常见的髓内肿瘤, 多表现为疼痛, 可逐渐出现病变节段以下的运动、感觉障碍。好发于下腰段脊髓圆锥或终丝, 多位于脊髓中央, MRI 表现为边界清晰, 多呈中心性生长, 脊髓明显增粗, 对称性膨大, 周围正常脊髓明显变薄, 痘灶上下段脊髓常有空洞, T1WI 上肿瘤呈略低或等信号, T2WI 呈高信号, 其内亦可见囊变、坏死、出血, 增强后肿瘤均匀强化, 囊变、坏死区无强化。(3)血管母细胞瘤。临床少见, 以本体感觉减退为主要症状, 好发于胸髓背侧, 为实质性肿块, 大范围的脊髓增粗, 边界不清, 在 T1WI 上肿瘤呈等或低信号, T2WI 呈高信号, 信号多不均匀, 肿瘤多囊变, 其内多有肿瘤结节, 增强扫描呈明显强化, 肿瘤内或邻近脊髓表面可有血管流空影。

目前公认显微手术是治疗脊髓髓内肿瘤最有效的方法, 尽量全切病灶, 解除脊髓受压以改善脊髓功能。脊髓内神经鞘瘤为良性病变, 血供丰富, 大多有完整包膜形成, 边界清楚, 与周围粘连较重, 显微手术切除肿瘤亦是其首选治疗方法。手术过程中从脊髓切开时就需在显微镜下进行

细致操作,保证手术的精度和安全,避免损伤脊髓周围血管,如后中央沟静脉、脊髓前动脉及其分支等结构而加重脊髓损伤,在不损伤脊髓功能的前提下,尽量争取全切肿瘤,避免采用椎板减压的消极方式。有人认为对于太小的髓内神经鞘瘤,术中不易暴露,切开脊髓及术中对脊髓的牵拉可能加重脊髓损伤;也有人认为若待病灶增大,已出现严重神经功能障碍时才行手术切除,术后已出现的神经功能障碍很难恢复^[11]。本研究中病灶较大者术后神经功能恢复程度逊于病灶较小者,因此我们认为本病是良性肿瘤,生长缓慢,发现时病程较长,病变较大,显微手术切除病灶对脊髓影响较小,术后恢复较快,故应积极手术治疗。本病预后大多较好,主要取决于脊髓受压、缺血的程度。

术前根据病变所对应的椎体节段,采用侧、俯卧位行 X 线透视或摄片获取肿瘤在体表的精确定位,术中根据肿瘤生长位置、操作者的熟练程度选择患者体位,以定位点为中心作皮肤后正中直切口,该病变大多沿脊髓背外侧生长,只需行半椎板切除入路即可;对于范围较大,两侧均生长的肿瘤,为避免对脊髓的过度牵拉,可行扩大椎板切除入路或全椎板切除入路,术后需行融合固定术。文献报道,腹外侧肿瘤不易暴露,位于颈椎管内可先扩大切除椎板,切断齿状韧带,轻轻旋转移位的颈髓,即可很好暴露肿瘤;胸椎管较狭小,其内肿瘤需采用经肋骨横突入路,充分暴露肿瘤,可有效避免对脊髓的过度牵拉^[6]。

打开椎管后触及硬脊膜,若病变较大,可感知到肿瘤位置,在此处纵形切开硬脊膜时,注意不要损伤脊髓,条件允许时,可用术中导航、超声等设备探测肿瘤位置。充分显露脊髓,为避免术后出现严重感觉缺损,尽量从后正中沟切开脊髓,术中不易辨别后正中沟时,以脊髓背侧中央静脉及两侧神经后根后作参照,尽量避免对这些重要结构的损害;较大的肿瘤压迫脊髓明显者,有时为避免损伤背侧中央静脉,可选择肿瘤侧的后旁正中沟作脊髓切开,亦可沿肿瘤边缘分离;切开长度必须满足肿瘤上下极完全显露,术中最好在神经电生理监测下切开脊髓,若无定位设备,可根据影像检查初步判断肿瘤大小,边切开脊髓边探及肿瘤边缘,尽量减少不必要的脊髓损伤。髓内神经鞘瘤多有包膜,在显微镜下容易辨别出与正常脊髓的边界,背离脊髓行锐性分离,边分离边止血,小的渗血可用棉片或明胶海绵压迫止血,渗血明显者使用小功率双极电凝烧灼止血,并及时予生理盐水降温,防止电凝热效应致脊髓损害。神经鞘瘤质地较韧,可在肿瘤上缝牵引线直接牵拉肿瘤,分离过程中尽量不牵拉脊髓,分离后垫湿棉片保护好

正常脊髓。当肿瘤与神经后根关系紧密,影响手术操作时,可将肿瘤侧感觉神经根切除^[6];操作者手法应准、稳,避免吸引器等器械误伤脊髓和神经根;肿瘤包膜及囊变部分应尽量切除,以免残留肿瘤组织复发。

综上所述,脊髓髓内神经鞘瘤为良性病变,发现后应早治疗,经验丰富的医师在显微镜下,配合神经电生理监测进行手术切除肿瘤是目前最好的治疗方式,在没有定位系统监测的情况下应仔细辨认肿瘤边界,尽量避免不必要的脊髓损伤。

参考文献

1. Kodama Y, Terae S, Hida K, et al. Intramedullary schwannoma of the spinal cord: report of two cases [J]. Neuroradiol, 2001, 43(7): 567-571.
2. Riffaud L, Morandi X, Massengo S, et al. MRI of intramedullary spinal schwannomas: case report and review of the literature[J]. Neuroradiol, 2000, 42(4): 275-279.
3. 司雨, 王振宇. 脊髓内-外神经鞘瘤一例并文献复习[J]. 中华神经外科杂志, 2013, 29(8): 840-842.
4. Lee CT, Chao YS, Chung HT, et al. Intramedullary schwannoma of the cervical spinal cord[J]. Formosan J Surg, 2012, 45(5): 146-152.
5. Nicácio JM, Rodrigues JC, Galles MH, et al. Cervical intramedullary schwannoma: a casereport and review of the literature[J]. Rare Tumors, 2009, 28(2): 137-140.
6. 孙兵, 车晓明, 顾士欣, 等. 脊髓髓内神经鞘瘤的临床诊断和治疗[J]. 中华神经外科杂志, 2012, 28(6): 577-580.
7. 王文娟, 江利, 郭燕, 等. 髓内神经鞘瘤的 MRI 表现(附 5 例报告)[J]. 临床放射学杂志, 2010, 29(12): 1693-1696.
8. Kim SD, Nakagawa H, Mizuno J, et al. Thoracic subpial intramedullary schwannoma involving a ventral nerve root: a case report and reviewof the literature[J]. Surg Neurol, 2005, 63(4): 389-393.
9. Kodama Y, Terae S, Hida K, et al. Intramedullary schwannoma of thespinal cord: report of two cases[J]. Neuro-radiology, 2001, 43(7): 567-571.
10. Colosimo C, Cerase A, Denaro L, et al. Magnetic resonance imaging of intramedullary spinal cord schwannomas: report of two cases and review of the literature [J]. J Neurosurg, 2003, 99(1): 114-117.
11. 江普查, 马超, 刘细国, 等. 脊髓髓内肿瘤的显微外科治疗 [J]. 临床外科杂志, 2010, 18(7): 462-463.

(收稿日期:2015-02-10 修回日期:2015-03-09)

(本文编辑 卢庆霞)